

建設省土木研究所 正員○岸田 駿一

木全 俊雄

吉田 捷一

1. まえがき

地震時の地盤の流動化を考慮した土木構造物の合理的な耐震設計を行うためには、地盤の流動化が土木構造物に及ぼす影響を定量的に評価する必要がある。本報告は地盤の流動化が地盤の支持力（地盤の反力特性）に及ぼす影響を明らかにするために実施した室内載荷試験の結果を報告する。

2. 実験装置および実験概要

実験装置の概要を図-1に示すが、内径300mmの上・下分離可能な密閉型容器である。上部のキャップの下面にはゴム膜が張られ、下部容器と遮断される。さらに、同ゴム膜にはφ60mmの載荷面が取付けられ、上方より最大500kgの鉛直荷重が載荷可能な構造となる。実験に際しては、まず下部容器に水を張り豊浦標準砂($G_s=2.65$, $c_{max}=0.96$, $c_{min}=0.64$)を静かに水中落下投入し、所定の高さ(約300mm)までゆる結めの砂模試体を作成する。次に上部のキャップを載せ密閉の後に、供試体内の間隙水圧およびゴム膜上面の空気圧を、各々 1.0 kg/cm^2 上昇させ、供試体にバックプレッシャー(σ_{BP})を与える。引続いて、ゴム膜上面の空気圧を所定の拘束圧力($\sigma'_v=1.0 \text{ kg/cm}^2$)に上げ、供試体の圧密(圧密時間=3ヶ月)を行う。圧密終了後は σ'_v に対して或る割合の過剰間隙水圧(Δu)を強制的に供試体内に与え、その状態下で静的載荷試験を行い、載荷特性に及ぼす過剰間隙水圧の影響を調べた。この際過剰間隙水圧は Δu_v として、0.0, 0.2, 0.4, 0.6, 0.8, 0.9, 0.95, 0.6, 0.4, および0.0のように順次変化させた。また、載荷は載荷能力の都合上、載荷面の鉛直変位が1.0mmを越えるまでを自守とし、マニュアルにより各段階ともほぼ同程度の荷重増加速度となるようにした。本報告では σ'_v , σ_{BP} を同一にした5供試体について実施した。

以上のように、ここでは流動化の発生程度を過剰間隙水圧 Δu_v で代表させ、この流動化の程度を人工的に供試体内に再現するような簡単な室内実験を行い、流動化程度と貫入特性の関係を明らかにしようとしたものである。

3. 実験結果

図-2は1つの供試体に対する実験結果の一例を示すが、同図から Δu_v の増加に伴い、貫入抵抗が減少することがわかる。図-3は図-2に基づいて貫入量/mm時の荷重をもって定義した地盤の反力係数 $K(P/\text{kg})/(mm)$ と Δu_v の関係の一例である。同図により地盤の反力係数が Δu_v の増加に従い低減することがわかる。本報告では実験の結果を図中の実線で代表させた。図-4は全供試体について K へ Δu_v とまとめた図であるが、実験時間比(e_c)に拘わらずほぼ同様な傾向を示している。

図-4の関係に一般性を持たせるために、任意の Δu_v に対する K を $\Delta u_v = 0.0$ での K で基準化($[K]_{\Delta u_v}/[K]_{\Delta u_{v0}}$)したが、その結果の一例を図-5に示す。そして、全供試体に対して基準化された K と Δu_v の関係を示したのが図-6である。図-4の K へ Δu_v の場合と同様に基準化された地盤の反力係数が、過剰間隙水圧地 Δu_v の増加に伴い減少することがわかる。また、本実験の対象とした試料では、間隙比による差異も見られていない。

4. 考察

簡易な実験装置により、 Δu_v で定義した流動化の発生程度が地盤の反力係数に及ぼす影響を図-6のよう形で明らかにした。同結果は限られたスケールの豊浦標準砂の地盤模型に対して、φ60といつも小さな載荷面により、鉛直方向の載荷試験を行ったものであり、直接的に構造物の耐震設計に反映させ得るものであるとは断定できないが、基準化された地盤の反力係数としてとらえた場合は、便宜的に適用することが可能であると思われ

る。その場合は、何らかの方法で構造物の周辺地盤の過剰間隙水圧比 $\Delta u/\sigma'_v$ が推定されれば、図-6を用いることにより周辺地盤の反力係数の低下率を求めできることになる。

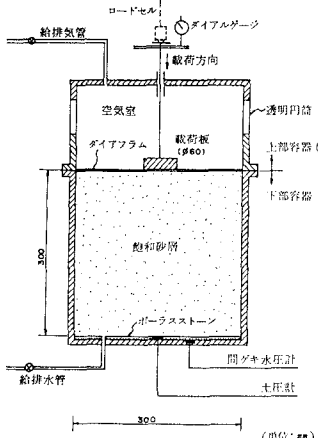


図-1 実験装置概要

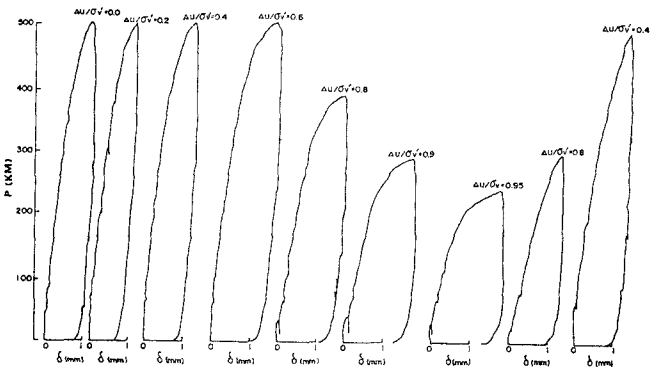


図-2 実験結果例 (供試体: ST-4)

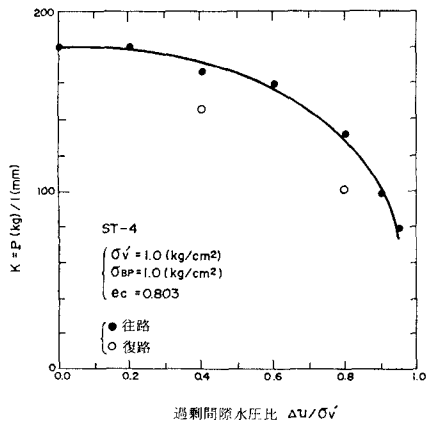


図-3 $K = P/(k_s) / l (\text{mm}) \sim \Delta u/\sigma'_v$ 例 (ST-4)

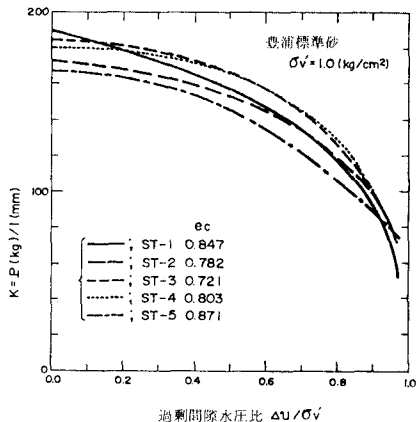


図-4 $K = P/(k_s) / l (\text{mm}) \sim \Delta u/\sigma'_v$ (全供試体)

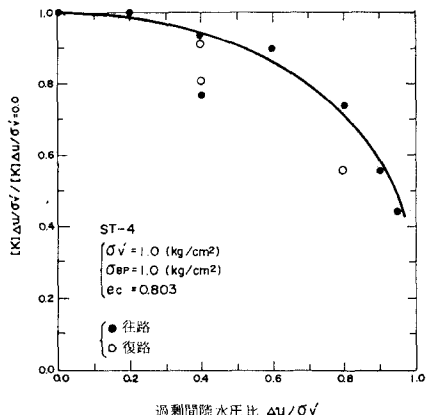


図-5 $[K]_{\Delta u/\sigma'_v} / [K]_{\Delta u/\sigma'_v = 0.0} \sim \Delta u/\sigma'_v$ (ST-4)

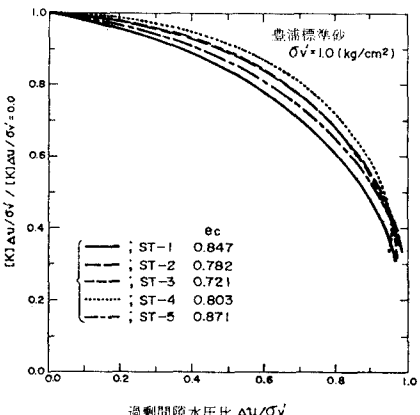


図-6 $[K]_{\Delta u/\sigma'_v} / [K]_{\Delta u/\sigma'_v = 0.0} \sim \Delta u/\sigma'_v$ (全供試体)